

## مقایسه دو نوع مارکر کلروپلاستی (PCR-RFLP و SSR) در برسی ساختار ژنتیکی جمعیت‌های راش *Fagus orientalis Lipsky* در جنگلهای خزری

پروین صالحی شانجانی<sup>۱</sup>

- عضو هیأت علمی موسسه تحقیقات جنگلها و مراعع، پست الکترونیک: Psalehi@riffr.ac.ir

تاریخ پذیرش: ۸۴/۱۲/۹ تاریخ دریافت: ۸۴/۷/۱۵

### چکیده

پلی مورفیسم DNA کلروپلاست (cpDNA) در ۱۴ جمعیت راش (*Fagus orientalis Lipsky*) توسط مارکرهای PCR-RFLP و میکروساتلاتایتی (SSR) مطالعه شد تا تاریخچه تکاملی این گونه مهم اقتصادی - اکولوژیکی جنگلهای شمال ایران روشن گردد. دو منطقه ژنی OA و DT تکثیر و به وسیله آندونوکلئازهای محدود کننده *HinfI* و *HaeIII* هضم شده و قطعات حاصل توسط الکتروفورز ژل پلی آکریل آمید جداسازی گردیدند. قطعات محدود کننده منطقه DT هیچ پلی مورفیسمی در میان افراد جمعیت‌های مورد مطالعه نشان نداد. در حالی که در میان افراد درون جمعیت‌های مورد مطالعه منطقه اسالم و جمعیت نکا-۱۴۰۰ شاهد وجود پلی مورفیسم در قطعات محدود کننده منطقه OA بودیم. سه هاپلوتاپ (که از نظر فیلوزنیکی مرتب شده‌اند) در گستره توزیع این گونه مشاهده شد. میزان بالای تمایز ژنتیکی ( $Gst = ۰.۷۸/۰.۷۶$ ) با ساختار جغرافیایی در گوناگونی آن برخلاف مطالعات قبلی تمایز ژنتیکی هسته ای پایین (که از مطالعات قبلی توسط مارکرهای آنزیمی بدست آمده است) نشان دهنده کم بودن جریان ژن توسط بذر در راش می‌باشد. از ۹ میکروساتلاتایت کلروپلاستی مطالعه شده فقط ۲ میکروساتلاتایت کلروپلاستی پلی مورفیسم نشان دادند که براساس ترکیب‌های مختلف آللهای مشاهده شد،  $Fst = ۰.۸۰/۰.۷۸$  نشان دادند. طبق آزمون واریانس ملکولی (AMOVA) از گوناگونی کل میکروساتلاتایتهای کلروپلاستی به اختلافهای میان منطقه ای،  $20\%$  به تفاوت‌های میان جمعیتی و  $28\%$  به اختلافهای درون جمعیتی تعلق دارد. اگرچه تنوع هاپلوئیدی مشاهده شده توسط مارکر PCR-RFLP بسیار کمتر از SSR بود. با وجود این، هر دو مارکر غنای هاپلوئیدی بالایی در بخش غربی جنگلهای راش خزری نشان دادند. غنای هاپلوئیدی بالا در جمعیت‌های غربی که توسط هر دو مارکر در این بررسی مشاهده گردید تأکیدی بر این فرضیه است که سمت و سوی گسترش راش در جنگلهای خزری از غرب به شرق بوده و فاصله جغرافیایی مهمترین عامل تمایز جمعیتی در راش می‌باشد.

.AMOVA، PCR-RFLP، cpDNA، میکروساتلاتایت، جنگلهای خزری، راش، کلیدی: راش، جنگلهای خزری، میکروساتلاتایت، AMOVA، PCR-RFLP، cpDNA

### مقدمه

(Mobayen & Tregubov, 1969) و بنابراین تکامل

جوامع فعلی راش از دوران سوم زمین شناسی تا کنون ادامه داشته است (Gömöry et al., 1995).

شناخت تاریخچه تکاملی یک گونه اهمیت ویژه‌ای برای ارایه راهبردهای مناسب جهت حفاظت از منابع ژنتیکی دارد. در سالهای اخیر به علت پیشرفت ژنتیک ملکولی، تکنیکهای بسیاری از جمله مارکرهای هسته ای،

جنگلهای خالص و آمیخته راش (*Fagus orientalis Lipsky*) مهمترین جنگلهای راش ناحیه خزری ایران می‌باشند که متعلق به دوران سوم زمین شناسی است. از آنجایی که دوران یخ‌بندان بر روی جنگلهای هیرکانی تأثیر مستقیم نگذاشت، راش در این جنگلها تغییرات محیطی و زمین شناختی زیادی را تحمل کرده است

بررسی بودند. براساس نتایج آنها جوامع متنهایی شمالي (در اروپا) از نظر ژنتيکي همگن بودند که می‌تواند نشان دهنده محدودیت انتشار و استقرار مجدد اين گونه در دوران پس از يخچال باشد. آنها معتقد به وجود ارتباط بين توزيع جغرافيايی هاپلوتاپ‌های cpDNA و روابط فيلورژنتيکي‌شان می‌باشند، به طوري که آنها ۱) دو هاپلوتاپ بسيار وابسته به هم در ايتاليا، ۲) دو هاپلوتاپ متعلق به يك دودمان كاملاً جدا شده در كريمه و ۳) يك هاپلوتاپ بسيار فراوان و چندين آلل كمياب (که وابسته به آلل بسيار فراوان هستند) را که در بيشتر اروپا يافت می‌شوند شناسايي کرددند. از آنجايي که راش كريمه يك نوع بسيار متماييز بوده و با گسترشگاه گونه راش شرقی همپوشانی دارد احتمال انتقال بين گونه‌اي ژنهای سيتوبلاسمی، مشابه با مورد گزارش شده در بلوط (Petit *et al.*, 1993; Paffetti *et al.*, 2001; Belahib *et al.*, 2001 و وجود دارد.

Salvini و همكاران تنوع ژنتيکي بسيار پايني  $= 0/22$  Gst را ميان ۱۰ جامعه ايتاليايی صنوبر لرزان *Populus tremula* (به وسیله PCR-RFLP) يافتند که ۴ برابر كمتر از ميزان برآورد شده برای گونه‌های جنگلی پهنه برگ است. چنین مقادير پايني را می‌توان به وسیله کاريابي بالاي انتشار بذر (توسط باد به فواصل طولاني) توضیح داد (Salvini *et al.*, 2001).

بررسی حدود ۴۰۰ جامعه اروپائي راش، بواسيله مارکرهای PCR-RFLP و ميكروساتلاتليت cpDNA، سطوح بالايی از تمایز ژنتيکي را ميان جوامع اروپائي راش در دست گزارش است. محققان دو گروه اصلی هاپلوتاپ: اولی منشاء گرفته از پناهگاه‌های ايتاليايی و دومی از پناهگاه‌های بالکان، را شناسايي کرددند. هاپلوتاپ‌های پيدا شده در شبه جزيره بالکان و تركيه به علت وجود گونه *F. orientalis* / *F. sylvatica* بین Magri *et al.*, 2005). نتایج آنها با بسيار متفاوت بودند (Magri *et al.*, 2005). Demesure و مطالعات قبلی تنوع cpDNA به وسیله Demesure همكاران (1996) مطابقت دارد.

كلروپلاستي و ميتوكندرياري اي برای مطالعه تمایز جمعيتهاها ابداع شده است. هر دو نوع ژنوم سيتوبلاستي (كلروپلاست و ميتوكندرى) در بيشتر نهاندانگان داراي وراثت مادرى بوده و بنابراین فقط به وسیله بذر منتقل می‌شوند که می- تواند برای مطالعه مسیرهای انتشار بذر از طریق توزیع جغرافيايی گوناگونی cpDNA استفاده شود. مطالعات در مورد مارکرهای DNA اندامکی ثابت نموده که وقتی انتشار بذر کمتر از جريان گرده باشد (همان گونه که در بسياری از نهاندانگان مشاهده می‌شود) پلي مورفیسم اندامکی در مقایسه با هسته ای دارای ساختار مشخصی است (Petit *et al.*, 1993) اين واقعیت به ویژه در درختان نهاندانه که انتشار بذرهاي سنگين شان از طریق جاذبه صورت می‌گيرد صحت دارد (Salvini *et al.*, 2001). cpDNA به دليل ميزان نسبتاً کم تکامل در توالی و فقدان نوترکيبي جنسی، مارکر مناسبی برای مطالعات فيلوجرافی ملکولی است (Sperisen, 2001) و مطالعات (Màtyás & Petit, 1999). طبق نظریه موجود مارکرهایی که وراثت مادری دارند، بخش زیادي از تنوع ژنتيکي ناشی از تنوع در ميان جمعيتها (نه در درون جمعيتها) است (Birký *et al.*, 1989).

در طی دهه گذشته مطالعات متعددی در مورد بررسی گوناگونی cpDNA در بسياری از گیاهان از جمله درختان گزارش شده است (Fagus sylvatica L.). پلي مورفیسم cpDNA توزیع جغرافيايی آنها در برخی گونه‌های Fagus تشریح شده است: (Demesure *et al.*, 1996) Fagus sylvatica L. Lipsky (Fujii *et al.*, 2002) F. crenata Salehi Shanjani *et al.*, 2004) به وسیله مطالعه DNA جايگاه‌های آنزيم‌های محدودکننده قطعات تکثیر شده با PCR، پلي مورفیسم را در ژنوم كلروپلاست راش اروپائي (*F. sylvatica* L.) بررسی نمودند (Demesure *et al.*, 1996). آنها در ميان ۳۹۹ درخت از ۸۵ جامعه که در سطح گسترشگاه طبیعی اين گونه پراکنده بودند ۱۱ هاپلوتاپ يافتند که از نظر فيلورژنتيکي قابل

هر داکسی‌نوکلئوزیدتری فسفات (dNTP)، ۱  $\mu\text{M}$  از هر پرایمر و ۱ واحد Taq DNA polymerase می‌باشد که پس از نگهداری محلول واکنش به مدت ۶۰ ثانیه در ۹۰ °C، محلول واکنش در معرض چرخه‌های مختلف دمایی زیر قرار گرفتند: (۱) ۵ چرخه: C ۹۵° به مدت ۳۰ ثانیه، ۵ ۶۰ °C به مدت ۳۰ ثانیه، C ۷۲° به مدت ۴ دقیقه. (۲): ۵ چرخه: C ۹۵° به مدت ۳۰ ثانیه، C ۵۵° به مدت ۳۰ ثانیه، ۵ ۷۲ °C به مدت ۴ دقیقه. (۳): ۵ چرخه: C ۹۵° به مدت ۳۰ ثانیه، C ۵۰° به مدت ۳۰ ثانیه، C ۷۲° به مدت ۴ دقیقه. سپس فرآورده‌های تکثیر در ۷۲ °C به مدت ۱۰ دقیقه نگهداری شدند (شکل ۱). در این کار از دستگاه PCR ساخت شرکت 9700 Perkin Elmer استفاده شد.

فرآورده‌های تکثیر DT و OA ( $15 \mu\text{L}$  حاوی ۱ mg DNA) به ترتیب با ۵ واحد آنزیم محدود کننده *HaeIII* و *HinfI* در حجم نهایی  $20 \mu\text{L}$  در ۳۷ °C به مدت ۴ ساعت تیمار شدند. محصول نهایی به وسیله الکتروفوروز روی ژل پلی‌اکریل آمید non-denaturing تعیین تراوید ۸٪ (W/V) تجزیه شدند. قطعات پلی‌مورفیک براساس کاهش طول قطعه در ژل پلی‌اکریل آمید نام‌گذاری شدند.

هایپلوتایپ‌ها براساس ترکیب‌های مختلف قطعات پلی‌مورفیک شناسایی شده تعیین شدند. گوناگونی در هر دو قطعات DT و OA مورد بررسی به عنوان جهش‌های نقطه‌ای یا حذف و اضافه بازها نسبت داده می‌شود.<sup>۱</sup>

هایپلوتایپ‌ها بر اساس ترکیب‌های مختلف قطعات پلی‌مورفیک شناسایی شده (آل‌اله) تعیین شدند. عوامل تعیین ژنتیکی (Gst) در ژنوم کلروپلاست از روش‌های (Pons & Petit, 1995 & 1996) با استفاده از نرم‌افزار HAPLODIV برآورد گردید.

به وسیله تعیین توالی دو ناحیه cpDNA، گوناگونی cpDNA در راش ژاپنی بررسی شده و ۱۳ هایپلوتایپ مشخص شناسایی شده که در دو گروه عمده دسته‌بندی شدند که در طول دریای ژاپن و سواحل اقیانوس آرام توزیع شده بودند. براساس توزیع دو گروه عمده *F. crenata*، دو راه مهاجرت در تاریخ پراکنش cpDNA پیشنهاد می‌شود که یکی در طول دریای ژاپن و دیگری در طول سواحل اقیانوس آرام می‌باشد (Fujii *et al.*, 2002).

در پژوهش پیش رو با مطالعه مارکرهای کلروپلاستی (SSR و PCR-RFLP) ساختار ژنتیکی جمعیت و توزیع گوناگونی هایپلوتایپی جمعیت‌های راش مطالعه شد. هدف بررسی سطح تمایز cpDNA درون جمعیت‌های راش و تاریخچه تکاملی راش در جنگلهای خزری ایران می‌باشد.

## مواد و روش‌ها

جوانه‌های خواب درختان راش به صورت همزمان از ۱۴ جمعیت طبیعی راش که در شیب شمالی رشته‌کوه البرز در جنگلهای هیرکانی ایران قرار دارند جمع‌آوری شدند (۳-۲ ارتفاع از هر منطقه؛ گرگان از استان گلستان؛ نکا، سنگده، خیروod و کلاردشت از استان مازندران؛ و اسلام از استان گیلان). کل DNA ژنومی از جوانه‌های خواب (۱۰۰ میلی‌گرم به عنوان ماده اولیه) ۱۴ درخت در Nucleospin plant (Germany, Macherey Negel) هر جمعیت با استفاده از کیت

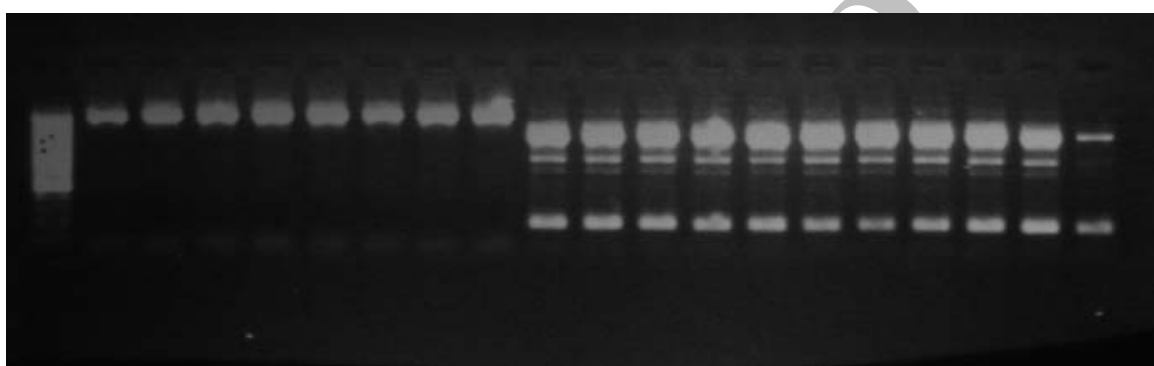
## PCR-RFLP

دو قطعه ژنی trnD-trnT و orf184- petA با استفاده از پرایمرهای اختصاصی کلروپلاستی (Grivet *et al.*, 2001) OA و (Demasure *et al.*, 1995) DT (جدول ۱) و از طریق واکنش زنجیری پلی مراز (PCR) تکثیر شدند. محیط فرایند PCR با حجم نهایی  $20 \mu\text{L}$  شامل: mM ۵۰ KCL، mM ۱۰ (pH ۸/۳) Tris-HCl، mM ۱/۵ MgCl<sub>2</sub>، mM ۱/۵ Giannini و Vettori (۲۰۰۵) ایجاد شد.

<sup>۱</sup>- بر اساس مذاکرات شفاهی با Giannini و Vettori (۲۰۰۵).

جدول ۱- ویژگیهای ۲ مارکر کلروپلاستی (PCR-RFLP) و آنزیم‌های محدود کننده آنها

آنزیم محدود کننده	لوکوس	جفت پرایمرها و توالی	عملکرد	ژن
			۵'-۳'	
<i>Hae</i> III	DT	ACCAATTGAACTACAATCCC CTACCACTGAGTTAAAAGGG	tRNA-Asp	<i>TrnD</i>
			tRNA-Tyr	<i>TrnY</i>
			tRNA-Glu	<i>trnE</i>
			tRNA-Thr	<i>trnT</i>
<i>Hinf</i> I	OA	TGGCGATCAGAACATATATGGATAG CCCTCGAAACAAGAAGTT	Hypothetical protein ORF184 Hypothetical protein ORF226 Cytochrome f	<i>orf184</i> <i>orf226</i> <i>petA</i>



شکل ۱- نمونه‌ای از الکتروفورز قطعات OA و DA تکثیر شده روی ژل آگارز. ستون اول از سمت چپ: نشانگر مولکولی (لدر ۱۰۰ bp)، از ستون دو تا نهم: قطعات OA و از دهم تا نوزدهم: قطعات DT است.

شدند. سپس فرآوردهای تکثیر در ۷۲°C به مدت ۸ دقیقه نگهداری شدند. در این کار از دستگاه PCR ساخت شرکت Perkin Elmer 9700 استفاده شد. طول قطعات تکثیر شده توسط توالی یاب خودکار (Alf Express, Pharmacia) (اندازه گیری گردید و نتیجه توسط برنامه نرم افزاری Fragment Manager 1.2 (Pharmacia) بررسی شد. هاپلوتایپ‌ها بر اساس ترکیبیهای مختلف قطعات پلی مورفیک شناسایی شده (آللهای) تعیین شدند. تسهیم گوناگونی ژنتیکی درون و میان جمعیتی و منطقه‌ای توسط آزمون واریانس ملکولی (Excoffier *et al.*, 1992) AMOVA (Schneider *et al.*, 2000) Arlequin 1.1 (Schneider *et al.*, 2000) تعیین گردید.

**SSR**  
۹ میکروساتلاتیت با استفاده از پرایمرهای کلروپلاستی (جدول ۲) از طریق PCR واکنش زنجیری پلی مراز (PCR) تکثیر شدند. محیط فرایند PCR با حجم نهایی ۲۰ µl شامل ۱۰ نانوگرم DNA الگو، بافر واکنش ۹=pH ۱۰×Amersham ۱۰ mM Tris-HCl با مقداری ۱۰ mM MgCl<sub>2</sub>، ۱۵ mM KCL، ۵۰ mM MgCl<sub>2</sub>، ۰/۲ mM از هر داکسی‌نوکلئوزیدتری فسفات جدول ۲، ۰/۴ µM از هر پرایمر و ۱ واحد Taq DNA polymerase می‌باشد که پس از نگهداری محلول واکنش ۳۰ به مدت ۵ دقیقه در ۹۰ °C، محلول واکنش در معرض ۹۵ درجه چرخه دمایی (یک دقیقه در دمای دناتوراسیون ۲ و سانتیگراد، یک دقیقه در دمای آنیلاسیون طبق جدول ۲ یک دقیقه در دمای اکستانسیون ۷۲ درجه سانتیگراد) تکثیر

جدول ۲- ویژگیهای ۹ مارکر میکروساتلاتیت کلروپلاستی

توالی نواحی	دماهی انیلاسیون تکراری (°C)	جفت پرایمر ها و توالی ۳ - ۵	اندازه آللها (bp) در <i>Castanea sativa</i>	عملکرد
(T) <sub>۱۲</sub>	*۵۰	AATGCTGAATCGAYGACCTA CCAAAAATATTBGGAGGACTCT	۱۲۶	atpF intron Ccmp⁴
(A) <sub>۱۲</sub>	*۵۰	CAACATATAACCACTGTCAAG ACATCATTATTGTATCATCTTTC	۱۳۳	atpB-rbcL intergenic Ccmp⁵
(T) <sub>۱۴</sub>	*۵۰	TTTTTTTTAGTGAACGTGTCA TTCGTCGDCGTAGTAAATAG	۱۰۳	rpl2_rps19 intergenic Ccmp¹⁰
(AT) <sub>۷</sub>	**۵۵	ATTCAATTCTTGCATTGA TTTACTTGTACTAA TAGGGTCTA GC	۱۰۹	petD intergenic Cmcs¹
(AT) <sub>۸</sub>	**۵۵	GAGCCATTCCCTTTAGAAT TTGAAAACCGGTATAGTCG	۱۵۱	psbC-trnS intergenic Cmcs²
(TC) <sub>۵</sub>	**۵۵	ATTCAATTCCCCTCTATATC CCTAGTATCCCACCAATT	۱۱۰	ycf10 gene Cmcs⁴
(T) <sub>۱۰</sub>	**۵۵	GAAAAAGGACCCTTCCTAAT CTTATGATCGTCACGAATTG	۱۹۹	ndhG-ndhI intergenic Cmcs⁶
(A) <sub>۱۰</sub>	**۵۵	GGTCTATTTCACACTCACAA AGAAATAAACACCCCCATT	۱۷۹	ndhH-rps15 intergenic Cmcs⁸
(AT) <sub>۷</sub>	**۵۵	GGATTGTAACAAATTTCAGG GTGCAAGGAATGTCGAACTA	۱۷۸	accD-psaI intergenic Cmcs¹⁴

G = T, A = D, T = C, G = B, T = C = Y

Sebastiani ; \*\* و همکاران (۲۰۰۴)

(۱۹۹۹) Gardner و Weising ; \*

## نتایج

### PCR-RFLP

برای بررسی گوناگونی ژنتیکی جمعیت‌های راش ایران با استفاده از روش PCR-RFLP، دو قطعه از cpDNA به نامهای OA و DT تکثیر و تجزیه شدند. نتایج هضم مناطق تکثیر شده فوق با ۲ آنزیم اندونوکلئاز محدود کننده (OA) HaeIII برای لوکوس DT و (DT) در لوکوس OA نشان داد که هر دو لوکوس DT و OA دارای پلی مورفیسم بوده و در هر لوکوس ۲ آلل مشاهده شد. تفاوت آللها مشاهده شده در هر لوکوس ناشی از گوناگونی در طول آللها است. لوکوس DT هیچ پلی مورفیسمی در میان

افراد جمعیت‌های مورد مطالعه نشان نداد. در حالی که در میان افراد درون جمعیت‌های مورد مطالعه منطقه اسلام و جمعیت نکا- ۱۴۰۰، شاهد وجود پلی مورفیسم در لوکوس OA بودیم. بر اساس ترکیب آللها مختلف، ۳ هاپلوتایپ در جمعیت‌های راش ایران شناسایی گردید. توزیع هاپلوتایپ-های مشاهده شده در هر جمعیت در جدول ۳ نشان داده شده است. توزیع جغرافیایی هاپلوتایپ‌های در cpDNA جمعیت‌های مطالعه شده نشان داد که فراوان‌ترین هاپلوتایپ، هاپلوتایپ A با فراوانی ۰/۷۹ است که به استثناء یک جمعیت (خیروود- ۶۰۰) در تمام دامنه

(۱۴۰۰) مشاهده گردید. هاپلوتایپ C انحصار به جمعیت خیروود- ۶۰۰ دارد. بیشترین تمایز cpDNA در میان جمعیتها توزیع شده است ( $Gst = 68/7\%$ ).

پراکنش راش در جنگلهای هیرکانی وجود دارد. یک هاپلوتایپ نسبتاً نادر با فراوانی ۰/۱۰۲ (هاپلوتایپ B) در فرد یا افرادی از برخی جمیعتهای غرب جنگلهای هیرکانی (اسالم- ۶۰۰، اسالم- ۱۲۰۰ و اسالم- ۱۹۰۰) یا در یک جمعیت در مرکز جنگلهای هیرکانی (نکا-

جدول ۳- برخی ویژگیهای مناطق مورد بررسی و فراوانی هاپلوتیپی مشاهده شده در مارکر کلروپلاستی (PCR-RFLP)

فراوانی هاپلوتایپ‌ها در هر جمعیت			تعداد نمونه	ارتفاع	طول جغرافیایی عرض جغرافیایی	منطقه	
C	B	A					
۰/۰	۰/۰	۱/۰	۵	۲۰۰۰	۳۶°۴۵'	۵۴°۰۷'	گرگان
۰/۰	۰/۰	۱/۰	۵	۱۴۰۰	۳۶°۴۱'	۵۴°۰۵'	گرگان
۰/۰	۰/۰	۱/۰	۵	۶۰۰	۳۶°۴۲'	۵۴°۰۶'	گرگان
۰/۰	/۰/۰	۰/۸	۵	۱۴۰۰	۳۶°۴۲'	۵۳°۳۳'	نکا
۰/۰	۰/۰	۱/۰	۵	۹۰۰	۳۶°۲۹'	۵۳°۲۷'	نکا
۰/۰	۰/۰	۱/۰	۵	۱۹۰۰	۳۶°۰۰'	۵۳°۱۲'	سنگده
۰/۰	۰/۰	۱/۰	۵	۱۴۰۰	۳۶°۰۳'	۵۳°۱۴'	سنگده
۰/۰	۰/۰	۱/۰	۵	۹۰۰	۳۶°۰۶'	۵۳°۱۶'	سنگده
۰/۰	۰/۰	۱/۰	۵	۲۰۰۰	۳۶°۳۲'	۵۱°۳۹'	خیروود
۰/۰	۰/۰	۱/۰	۵	۱۲۰۰	۳۶°۳۲'	۵۱°۳۹'	خیروود
۱/۰	۰/۰	۰/۰	۶	۶۰۰	۳۶°۳۵'	۵۱°۳۳'	خیروود
۰/۰	۰/۴	۰/۶	۵	۱۲۰۰	۳۷°۳۸'	۴۸°۴۸'	اسالم
۰/۰	۰/۴	۰/۶	۵	۶۰۰	۳۷°۴۱'	۴۸°۴۸'	اسالم
۰/۰	۰/۵	۰/۵	۶	۱۴۰۰	۳۶°۴۱'	۵۴°۰۵'	گرگان
۰/۰۸	۰/۱۰۲	۰/۷۹	۷۲				کل

هاپلوتیپ شماره ۳ که در مناطق مختلف (در ۲ جمعیت غربی و یک جمعیت مرکزی) مشاهده شدند، سایر هاپلوتیپ‌ها در مناطق مجزا دیده شدند. توزیع هاپلوتیپ‌ها تمایز قابل ملاحظه‌ای را با ساختار جغرافیایی مشخص (Fst = ۰.۸۰) نشان دادند. طبق آزمون واریانس ملکولی (AMOVA) ۵۲٪ از گوناگونی کل میکروساتلاتیتهای کلروپلاستی به اختلافات میان منطقه‌ای، ۲۸٪ به تفاوت‌های میان جمعیتی و ۲۰٪ به اختلافات درون جمعیتی تعلق دارد.

**SSR**  
تعداد متغیرهای مشاهده شده (آللهای) و گستره طولی آنها را در ۹ مارکر میکروساتلاتیت cpDNA در جدول ۴ نشان داده شده است. تعداد ۲ تا از ۹ میکروساتلاتیت (ccmp4 و ccmp7) به ترتیب با ۲ و ۶ آل، پلی مورفیسم نشان دادند. بر اساس ترکیبیهای مختلف متغیرهای مشاهده شده در کل ۱۰ هاپلوتیپ شناسایی شدند. فراوانی هاپلوتیپی در جدول ۵ گزارش شده است. توزیع هاپلوتیپ‌های میکروساتلاتیتی نشان داد که در ۵ جمعیت، گوناگونی درون جمعیتی دارند، در حالی که در ۵ جمعیت فقط یک نوع هاپلوتیپ مشاهده گردید. به استثناء

جدول ۴- برخی ویژگیهای ۹ میکروساتلاتیتی کلروپلاستی مطالعه شده

اندازه آllerها (bp) در تباکو	اندازه آllerها (bp) در <i>Castanea sativa</i>	اندازه آller مشاهده شده در <i>Quercus petraea</i>	تعداد آller مشاهده شده در <i>Quercus petraea</i>	تعداد آller مشاهده شده در <i>F.orientalis</i> ایران	اندازه آllerها (bp) در <i>F.orientalis</i>	پرایمر
۱۲۶	-	-	-	۲	۱۲۰-۱۱۹	Ccmp4
۱۳۳	-	-	-	۶	۱۵۵-۱۵۰	Ccmp7
۱۰۳	-	-	-	۱	۱۲۰	Ccmp10
-	۱	۱	۱	۱	۱۱۵	Cmcs1
-	۲	۱	۱	۱	۱۳۸	Cmcs2
-	۲	۱	۱	۱	۱۱۱	Cmcs4
-	۲	۲	۱	۱	۱۸۸	Cmcs6
-	۱	۱	۱	۱	۱۵۸	Cmcs8
-	۲	۱	۱	۱	۱۸۰	Cmcs14

جدول ۵- برخی ویژگیهای مناطق مورد بررسی و فراوانی هاپلوتیپ مشاهده شده مارکر میکروساتلاتیت کلروپلاستی

هایپلوتیپ												ارتفاع	عرض جغرافیایی	طول جغرافیایی	تعداد نمونه	منطقة
۱۰	۹	۸	۷	۶	۵	۴	۳	۲	۱	(شمالی)	(شرقی)	(متر)				
.	.	.	.	.	۱	۰	۰	۰	۸	۵۴°۰۷'	۳۶°۴۵'	۲۰۰۰	گرگان			
.	.	.	.	۰	۰/۹۳	۰/۰۷	۰	۰	۱۴	۵۴°۰۵'	۳۶°۴۱'	۱۴۰۰	گرگان			
.	.	.	.	۰	۰	۱	۰	۰	۱۴	۵۴°۰۶'	۳۶°۴۲'	۶۰۰	گرگان			
.	.	.	.	۰/۷۱	۰/۲۹	۰	۰	۰	۱۴	۵۳°۳۳'	۳۶°۲۲'	۱۴۰۰	نکا			
.	.	.	.	۰	۰	۱	۰	۰	۱۴	۵۳°۲۷'	۳۶°۲۹'	۹۰۰	نکا			
.	.	.	.	۰	۰	۰	۰	۰	۱۴	۵۳°۱۲'	۳۶°۰۰'	۱۹۰۰	سنگده			
.	.	.	.	۰/۷۹	۰/۲۱	۰/۲۹	۰/۷۱	۰	۱۴	۵۳°۱۴'	۳۶°۰۳'	۱۴۰۰	سنگده			
.	.	.	.	۰/۰۷	۰/۹۳	۰	۰	۰	۱۴	۵۳°۱۶'	۳۶°۰۶'	۹۰۰	سنگده			
۱	۰	۰	۰	۰	۰	۰	۰	۰	۱۴	۵۱°۳۹'	۳۶°۳۲'	۱۲۰۰	خیروود			
۰/۷۹	۰/۲۱	۰	۰	۰	۰	۰	۰	۰	۱۴	۵۱°۳۳'	۳۶°۳۵'	۶۰۰	خیروود			
.	۰/۱۴	۰/۸۶	.	.	۰	۰	۰	۰	۱۴	۵۱°۴۶'	۳۶°۳۸'	۱۳۰۰	کلاردشت			
.	۰	۰	۰	۰	۰	۰/۰۷	۰/۲۲	۰/۷۱	۱۴	۴۸°۴۸'	۳۷°۳۸'	۱۲۰۰	اسالم			
.	۰	۰	۰	۰	۰	۰	۱	۰	۱۴	۴۸°۴۸'	۳۷°۴۱'	۶۰۰	اسالم			
۲۵	۳	۲	۱۲	۱۳	۷۷	۵	۲۵	۳	۱۰	۱۷۶			کل تعداد نمونه			
۰/۱۴	۰/۰۲	۰/۰۱	۰/۰۷	۰/۰۷	۰/۴۴	۰/۰۳	۰/۰۱	۰/۰۲	۰/۰۶	۱			فراوانی کل			

جمعیت منومورفیک بودند (توسط هایپلوتیپ A و C).

هایپلوتیپ B که بیشتر در مناطق غربی مشاهده شد این مناطق را از مناطق باقیمانده جدا نمود. بیشترین تمایز cpDNA در میان جمعیتها توزیع شده بود ( $Gst=77/6\%$ ).

### بحث

توزیع هایپلوتیپ‌های PCR-RFLP نشان می‌دهد که فراوان ترین هایپلوتیپ (A) به استثناء یک جمعیت (خیروود-۶۰۰) در تمام جمعیتها وجود دارد و ۱۰ تا از ۱۴

ای، ۰.۲۸٪ به تفاوت‌های میان جمعیتی و ۰.۲۰٪ به اختلافهای درون جمعیتی نسبت تعلق دارد. این وضعیت می‌تواند از آنجایی باشد که ژن‌های هسته‌ای از طریق دانه گردید و بذر، ولی ژن‌های کلروپلاستی فقط از طریق بذر منتقل می‌شود. وضعیت مشاهده شده ناشی از کارآیی خوب انتشار ژن‌های هسته‌ای از طریق گردید به وسیله باد و عدم انتشار ژن‌های کلروپلاستی از طریق بذرها سنگین به فواصل دور است.

اگرچه تنوع هاپلوئیدی مشاهده شده توسط مارکر PCR-RFLP بسیار کمتر از SSR است، ولی هر دو مارکر غنای هاپلوئیدی بالایی در بخش غربی جنگلهای راش خزری نشان دادند. چنین توزیعی می‌تواند ناشی از اختلافهای محیطی به ویژه در میزان بارندگی، رطوبت هوا، نوع هوموس و سنگ مادر از شرق به غرب باشد (مروری مهاجر، ۱۳۵۵؛ پارسا پژوه، ۱۳۵۵؛ حبیبی، ۱۳۵۴). توضیح دیگر برای طرح توزیع هاپلوتاپ‌های cpDNA می‌تواند به تاریخچه مهاجرت راش در طول توزیع تاریخی راش در دوران سوم از اسلام (منطقه بسیار پلی‌مورفیک) به شرق جنگلهای هیرکانی نسبت داده شود. نتایج مطالعات در مورد تنوع ژنتیکی راش اروپائی نشان داده است که گوناگونی ژنتیکی با طول زمان رابطه مستقیمی دارد. چنانچه یا مطالعات انجام شده در مورد تنوع cpDNA و ساختار جغرافیایی راش اروپائی cpDNA *F. sylvatica* توزیع گسترده یک هاپلوتایپ در جنوب اروپا منفرد در شمال اروپا و چندین هاپلوتایپ در جنوب اروپا (پناهگاه‌های ایتالیا و فرانسه) تشخیص داده شده است. (Demesure *et al.* 1996)

این مشاهدات نشان می‌دهد که تنوع ژنتیکی راش شرقی در ایران دارای ساختار جغرافیایی می‌باشد. توزیع هاپلوتایپ‌های میکروساتلاتیتی نشان می‌دهد که ۸ تا از ۱۳ جمعیت، گوناگونی درون جمعیتی دارند، در حالی که در ۵ جمعیت فقط یک نوع هاپلوتایپ مشاهده گردید. به استثناء هاپلوتایپ شماره ۳ که در مناطق مختلف (در ۲ جمعیت غربی و یک جمعیت مرکزی) مشاهده شدند، سایر هاپلوتایپ‌ها در مناطق مجزا دیده شدند. توزیع هاپلوتایپ‌ها تمایز قابل ملاحظه‌ای را با ساختار جغرافیایی مشخص ( $F_{ST} = 0.80$ ) نشان دادند.

وجود تعداد محدود هاپلوتایپ کلروپلاستی چنانچه در جمعیتهای راش ایران مشاهده گردید (۳-۱۱ هاپلوتایپ) در مطالعات بسیاری نیز گزارش شده است (Marchelli *et al.*, 1998; Dumolin-Lapegue *et al.*, 1997, Caron *et al.*, 2000; Mohanty *et al.*, 2001; Dutech *et al.*, 2000; Hamilton, 1999) هاپلوتایپ در جمعیتهای غربی می‌تواند ناشی از قدمت بیشتر جمعیتهای غربی جنگلهای خزری باشد که فرض می‌گردد جهت پراکنش آن از غرب به شرق است.

مارکرهای میکروساتلاتیتی در مقایسه با مارکرهای هسته‌ای، سطوح بالایی از تمایز ژنتیکی را میان جمعیتها نشان می‌دهند (Petit, 1999). میانگین تمایز ژنتیکی اندازه‌گیری شده (*Gst*) در ۹۷ گونه گیاهی ۰.۷۰٪ و در گونه‌های درختان نهاندانه ۰.۷۳٪ می‌باشد. گونه‌های متعلق به خانواده *Fagaceae* از جمله *Fagus sylvatica* و *Quercus robur* به علت تولید بذر سنگین، تمایز ژنتیکی بالایی، بین ۰.۸۳٪ تا ۰.۹۰٪ نشان می‌دهند (Dumolin-Lapegue *et al.*, 1997; Demesure *et al.*, 1996) در این پژوهش نیز تنوع ژنتیکی بالایی (PCR-RFLP و SSR) و ۰.۶۹٪ برای مارکر (AMOVA) در میان جمعیتهای ایران مشاهده گردید. طبق آزمون واریانس ملکولی (AMOVA) ۰.۵۲٪ از گوناگونی کل میکروساتلاتیتی کلروپلاستی به اختلافهای میان منطقه

- Dutech, C. Maggia L. Joly H.I. 2000. Chloroplast diversity in *Vouacapoua Americana* (Caesalpiniaceae), a neotropical forest tree. *Molecular Ecology*, 9: 1427-1432.
- Excoffier, L. Smouse, P. Quattro, J. 1992. Analysis of molecular variances among DNA restriction data. *Genetics*, 131: 479-491.
- Fujii, N., Tomaru, N., Okuyama, K., Koike, T., Mikami, T., and Ueda, K., 2002. Chloroplast DNA phylogeography of *Fagus Crenata* (Fagaceae) in Japan. *Plant Syst. Evol.*, 232(1-2): 21-33.
- Gömöry, D., Vyšny, J. and Paule, L. 1995. Genetic differentiation of populations in the transition zone between *Fagus sylvatica* L. and *Fagus orientalis* Lipsky. In: Madsen, S. (Ed.) *Genetic and Silviculture of Beech. Proceeding of the 5<sup>th</sup> Beech Symposium of the IUFRO Project Group P 1.10.00, 19-24 September 1994, Mogenstrup, Denmark. Frskningsserien. 11: 238-244.*
- Grivet, G., Heinze, B., Vendramin, G. G. and Petit, R. J., 2001. Genome walking with consensus primers: application to the large single copy region of chloroplast DNA. *Molecular Ecology Notes* 1.
- Hamilton, M.B. 1999. Tropical tree gene flow and seed dispersal. Deforestation affects the genetic structure of the surviving forest fragments. *Nature*, 401: 129-130.
- Marchelli, P., Gallo, L., Scholz, F. and Ziegenhagen, B. 1998. Chloroplast DNA markers reveal a geographical divide across Argentinean southern beech *Nothofagus nervosa* (Phil.) Dim. et Mil. Distribution area. *Theor. Appl. Genet.*, 97: 642-646.
- Màtyàs, G. and Sperisen, C. 2001. Chloroplast DNA polymorphisms provide evidence for postglacial recolonisation of oaks (*Quercus* spp.) across the Swiss Alps. *Theor. Appl. Genet.*, 102: 12-20.
- Mobayen, S. and Tregubov, V. 1969. The vegetative map of Iran. Publication of Tehran University. No. 14, 50 p.
- Mohanty, A. Martín J.P., Aguinagalde, I. 2001. A population genetic analysis of chloroplast DNA in wild populations of *Prunus avium* L. in Europe. *Heredity*, 87: 421-427.
- Paffetti, D., Vettori, C. and Giannini, R. 2001. Relict populations of *Quercus calliprinos* webb on Sardinia island identified by chloroplast DNA sequences. *Forest Genetics*, 8 (1): 1-11.
- Petit, R. J., 1999. Diversité Génétique et Historie des Populations d' Arbres Forestiers. Dossier d' habilitaion à diriger des recherches, Université de Paris- Sud, Université Formation de Recherche Scientifique d' Orsay, Paris. 223p.
- Petit, R. J., Kremer, A., and Wagner, D. B. 1993. Geographic structure of chloroplast DNA polymorphisms in European oaks. *Theoretical and Applied Genetics*, 87: 122-128.

## سپاسگزاری

پژوهش حاضر توسط مساعدتهای مالی انسیتو بین المللی منابع ژنتیک گیاهی (IPGRI) ممکن گردیده است. دکتر جوزپه جوانی وندرامین، پروفسور رافائلو جیانینی و خانم دکتر کریستینا وتوری (موسسه ژنتیک گیاهی، فلورانس، ایتالیا) که در اجرای این پژوهش نویسنده را یاری نمودند که به این وسیله از آنان قدردانی می‌گردد.

## منابع مورد استفاده

- پارسا پژوه، د. ۱۳۵۵. تحقیق روی کمیت های فیزیکی چوب های راش ایران در مناطق مختلف رویشی. *مجله منابع طبیعی ایران*, ۳۴: ۲۱-۳۴.
- جبیی، ح. ۱۳۵۴. مطالعه وضعیت عناصر (N, P, K, Ca) خاک جنگل های راش در ایران و بررسی نقش آنها روی رشد راش. *محله منابع طبیعی ایران*, ۳۲: ۴۷-۶۲.
- مردی مهاجر، م. ۱۳۵۵. برخی ویژگی های کمی جنگل های راش ایران. *محله منابع طبیعی ایران*, ۳۴: ۷۷-۹۷.
- Belahbib, N. Pemonge, N.H. Ouassou, A. Sbay, H. Kremer, A., Petit, R.J. 2001. Frequent cytoplasmic exchanges between oak species that are not closely related: *Quercus suber* and *Q. Ilex* in Morocco. *Molecular Ecology*, 10: 2003-2012.
- Birk, C. W., Fuerst, P., Maruyama, T. 1989. Orangelle gene diversity under migration, and drift: Equilibrium expectations, approach to equilibrium, effects of heteroplasmic cells, and comparison to unclear gens. *Genetics*, 121: 631-627.
- Caron, H. Dumas, S. and Marque, G. 2000. Spatial and temporal distribution of chloroplast DNA polymorphism in a tropical tree species. *Molecular Ecology*, 9: 1089-1098.
- Demesure, B., Comps, B. and Petit, R. J. 1996. Chloroplast DNA phylogeography of the European beech (*Fagus sylvatica* L.) in Europe. *Evolution*, 50(6): 2515-2520.
- Demesure, B., Sodzi, B. N. and Petit, R. J., 1995. A set of universal primers for amplification of polymorphic noncoding regions of mitochondrial and chloroplast DNA in plants. *Molecular Ecology*, 4: 129-131.
- Dumolin-Lapègue, S., Demesure, B., Fineschi, S. Lecorre, V. and Petit, R. J. 1997. Phylogenetic structure of white oaks throughout the European continent. *Genetics*, 146: 1475-1487.

- Populus tremula* L. (Salicaceae) estimated using chloroplast PCR-RFLP and microsatellite markers. Forest Genetics. 8 (1): 81-87
- Schneider, S. Roessli, D. Excoffier L. 2000. Arlequin, Version 2000: A Software for population genetics data analysis. Genetics and Biometry Laboratory, University of Geneva.
- Sebastiani, F., Carnevale, S., Vendramin, G.G. 2004. A new set of mono- and di-nucleotide chloroplast microsatellites in Fagaceae. Molecular Ecology Notes, 4: 259-261.
- Weising, K., Gardner, R.C. 1999. a set of conserved PCR primers for the analysis of simple sequence repeat polymorphisms in chloroplast genomes of dicotyledonous angiosperms. Genome, 42: 9-19.
- Pons, O. and Petit, R.J., 1995. Estimation, variance and optimal sampling of gene diversity. 1. Haploid locus. Theoretical and Applied Genetics 90: 462-470.
- Pons, O., and Petit, R. J., 1996. Measuring and testing genetic differentiation with ordered versus unordered alleles. Genetics, 144: 1237-1245.
- Salehi Shanjani, P., Vettori, C. Giannini, R. and R.A. Khavari-Nejad 2004. Intraspecific variation and geographic patterns of *Fagus orientalis* Lipsky chloroplast DNA. Journal of Silvae Genetica, 53: 193-197.
- Salvini, D., Anzidei, M., Fineschi, S., Malvoti, M. E., Taurchini, D. and Vendramin, G. G. 2001. Low genetic differentiation among Italian populations of

## Comparison of PCR-RFLP and SSR chloroplast markers in study of genetic structure of beech (*Fagus orientalis*) populations in Hyrcanian forests

P. Salehi Shanjani<sup>1</sup>

1 - Member of Scientific board, Research Institute of Forests and Rangelands, P. O. BOX 13185-116, Tehran, Iran.  
e-mail: psalehi@rifr.ac.ir

### Abstract

Chloroplast (cp) DNA polymorphism was analyzed in 14 populations of beech (*Fagus orientalis* Lipsky) by PCR-RFLP and microsatellite (SSR) chloroplast markers. Two cpDNA intergenic regions DT and OA were amplified and treated with *Hae*III and *Hinf*I, respectively. The restriction fragments of the region DT did not show polymorphism among individuals within any population analyzed. However, among individuals within the analyzed populations of Asalem region and Neka-1400 population, polymorphism in the restriction fragments of the OA region was found. Three haplotypes, which could be phylogenetically ordered, were detected in this survey encompassing most of the natural range of the species. The high level of genetic differentiation ( $Gst=69\%$ ) together with the highly structured geographic variation contrast with low level of nuclear genetic differentiation measured in previous studies with isozymes and indicate a low level of gene flow by seeds. Among nine analyzed microsatellites, two showed polymorphism. Two and six different length variants at ccmp4 and ccmp7 loci were found, respectively, which combined into 10 different haplotypes. The distribution of haplotypes showed a very strong differentiation among populations ( $Fst=80\%$ ) and clear geographic structure. The analysis of molecular variance (AMOVA) showed that 52, 28 and 20% of the total cpSSR variation was attributable to differences among regions, among populations within regions and within populations, respectively. Clear evidence has been obtained that geographical distance is a major factor of population differentiation in the beech. This long-range pattern of variation was partially expected, given the huge natural range of beech and the existence of a gradient of variation in ecological factors. The high haplotype richness in the western populations, which found by the both markers in this investigation, is in accordance with this hypothesis that the beech forests of the Hyrcanian regions distributed from West to East.

**Keywords:** AMOVA, Beech, cpDNA, *Fagus orientalis* Lipsky, Hyrcanian zone, Microsatellite, PCR-RFLP.